

Н. Н. НИЛОВА, Г. М. БАРТЕНЕВ, В. Т. БОРИСОВ, Ю. Е. МАТВЕЕВ

**ИССЛЕДОВАНИЕ КОНТАКТНОГО ПЛАВЛЕНИЯ В СИСТЕМЕ ВИСМУТ — СВИНЕЦ**

(Представлено академиком Г. В. Курдюмовым 29 VII 1970)

В стационарном диффузионном режиме контактного плавления, протекающем при некоторой температуре  $T$  (рис. 1), парциальные скорости растворения фаз  $V_a$ ,  $V_b$  определяются уравнениями непрерывности

$$\begin{aligned} j_a &= \frac{1}{\Omega} \left( V_0 \bar{c}_2 - D_a \frac{\partial \bar{c}(0)}{\partial x} \right) = \frac{1}{\Omega_a} V_a \bar{c}_0, \\ j_b &= \frac{1}{\Omega} \left( V_b \bar{c}_3 + D_b \frac{\partial \bar{c}(\delta)}{\partial x} \right) = \frac{1}{\Omega_b} V_b \bar{c}_3, \\ j_b &= \frac{1}{\Omega} \left( V_0 c_2 - D_b \frac{\partial c(0)}{\partial x} \right) = \frac{1}{\Omega_a} V_a c_0, j_b = \frac{1}{\Omega} \left( V_b c_3 + D_b \frac{\partial c(\delta)}{\partial x} \right) = \frac{1}{\Omega_b} V_b c_3. \end{aligned} \quad (1)$$

Здесь  $\Omega_a$ ,  $\Omega_b$ ,  $\Omega$  — объемы, приходящиеся на одну частицу в фазах  $a$ ,  $b$  и жидкости соответственно,  $V_a$ ,  $V_b$  — скорости движения жидкости у границ раздела, расположенных в точках  $x = 0$  и  $x = \delta$ ,  $\delta$  — толщина жидкого слоя,  $\bar{c}(x)$ ,  $c(x)$  — атомные концентрации компонентов  $a$  и  $b$  соответственно,  $D_a$ ,  $D_b$  — парциальные коэффициенты диффузии этих элементов.

Попарное сложение уравнений ( $c(x) + \bar{c}(x) \equiv 1$ )

$$\begin{aligned} V_0 &= \frac{\Omega}{\Omega_a} V_a + (D_b - D_a) \frac{\partial c(0)}{\partial x}, \\ V_\delta &= \frac{\Omega}{\Omega_b} V_b - (D_b - D_a) \frac{\partial c(\delta)}{\partial x} \end{aligned} \quad (2)$$

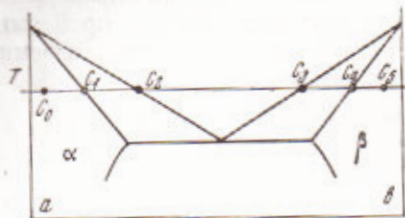


Рис. 1. К диффузионной теории контактного плавления в двойной системе

Если контактное плавление идет достаточно медленно, так что течение не оказывает существенного влияния на распределение концентрации, уравнение диффузии имеет вид

$$\frac{\partial}{\partial x} \left\{ [D_b(1 - c) + D_a c] \frac{\partial c}{\partial x} \right\} = 0,$$

и соотношения (3) не являются независимыми. Между парциальными скоростями  $V_a$ ,  $V_b$  имеется вполне определенная связь:

$$\frac{V_a}{\Omega_a} (c_2 - c_0) = \frac{V_b}{\Omega_b} (c_3 - c_0). \quad (4)$$

При больших скоростях процесса это соотношение нарушается, анализ показывает, что комбинация  $[D_b(1 - c) + D_a c] \partial c / \partial x$  при этом не сохраняется постоянной. В линейной аппроксимации  $\partial c / \partial x = (c_2 - c_1) / \delta$ , и уравнения (3) принимают вид

$$V_a = \frac{\Omega_a}{\Omega} \frac{D_b l}{\delta A}, \quad V_b = \frac{\Omega_b}{\Omega} \frac{D_a l}{\delta B}, \quad V = V_a + V_b = \frac{l}{\Omega \delta} \left( \frac{\Omega_a D_b}{A} + \frac{\Omega_b D_a}{B} \right) \quad (5)$$

$$(c_2 - c_1 = l, c_2 - c_0 = A, c_0 - c_1 = B, D_i = D_b(1 - c_i) + D_a c_i).$$

Соотношения (5) использовались для анализа экспериментальных результатов, полученных на системе висмут — свинец при повышенных скоростях контактного плавления. Увеличение скорости достигалось приложением значительной нагрузки ( $p = 0 - 20 \text{ кГ/см}^2$ ) к контактируемым образцам. Кроме того, образцы вращались относительно друг друга с угловой скоростью  $\omega$ , достигавшей  $150 \text{ сек}^{-1}$ ; максимальные скорости плавления при этом составляли около  $1 \text{ мм/сек}$ . При всех давлениях наблюдалась

примерно линейная связь между  $V$  и  $\omega^{1/2}$ . Зависимость скорости от толщины слоя  $\delta$  представлена на рис. 2. Прямые проводились по методу наименьших квадратов. При этом предполагалась зависимость вида  $V = m\delta^{-n}$ . Значения  $n$  при  $\Delta T = 11^\circ, 31^\circ, 51^\circ \text{ С}$  ( $\Delta T$  — отклонение температуры от эвтектической) оказались соответственно равными  $1,00; 1,16; 1,05$ ; т. е. показатель степени при  $\delta$  для всех температур близок к  $-1$ , что согласуется с ожидаемой по теории (5) зависимостью  $V\delta = \text{const}$ .

Если принять  $D_2 \approx D_3 = D$ , то по данным рис. 2 можно определить среднее значение коэффициента диффузии  $D$ . Для указанных температур  $D$  равно  $0,9 \cdot 10^{-5}; 1,6 \cdot 10^{-5}; 2,0 \cdot 10^{-5} \text{ см}^2 \cdot \text{сек}^{-1}$  соответственно, а энергия активации примерно  $5,2 \text{ ккал/моль}$ . Полученные значения коэффициентов и энергии активации типичны для жидких металлов. Если разность  $c_2 - c_1$  достаточно велика, уравнения (5) позволяют определить величины парциальных коэффициентов диффузии по парциальным скоростям растворения металлов. Обработка соответствующих данных дала  $D_{\text{Bi}} = 0,7 \cdot 10^{-5}, D_{\text{Sb}} = 3,4 \cdot 10^{-5} \text{ см}^2/\text{сек}$  (для  $\Delta T = 11^\circ \text{ С}$ ).

Таким образом, в данной системе даже при больших скоростях процесса растворение протекает в типично диффузионном режиме. Заметим, что подобная интенсификация процесса в системе галлий — цинк приводит к выявлению признаков кинетического режима (1).

Металлографическим исследованием обнаружены некоторые особенности быстрого растворения. Прослойка между металлами при нагрузках около  $20 \text{ кГ/см}^2$  становится неразличимой. При давлениях, превышающих  $10 \text{ кГ/см}^2$ , граница фаз теряет устойчивость. Фронт плавления сильно искривляется. Наблюдаются глубокое проникновение свинца по границам зерен висмута, последний при этом заметно охрупчивается. Вращение образцов мало изменяет картину.

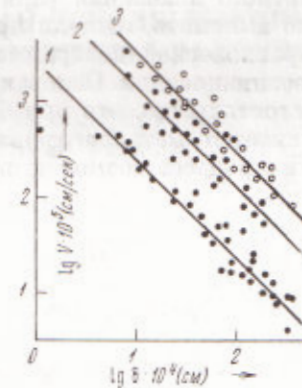


Рис. 2

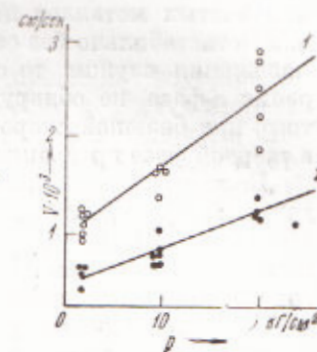


Рис. 3

Рис. 2. Связь между скоростью плавления и толщиной жидкой прослойки при различных температурах. 1 —  $\Delta T = 11^\circ$ ; 2 —  $\Delta T = 31^\circ$ ; 3 —  $\Delta T = 51^\circ$

Рис. 3. Зависимость скорости контактного плавления от давления при  $\Delta T = 11^\circ \text{ С}$ : 1 — для пары висмут — свинец, 2 — при контактировании чистых висмута и свинца

Во время контактного плавления концентрация в различных точках жидкого слоя  $\delta$  различна. Она изменяется по некоторому закону и в целом заключена в пределах ( $c_2$ ,  $c_3$ ). Из соотношений (5) диффузионной теории процесса для среднего состава  $c^*$  имеем

$$c^* = \frac{c_0 V_\alpha / \Omega_a + c_3 V_\beta / \Omega_\beta}{V_\alpha / \Omega_a + V_\beta / \Omega_\beta} = \frac{B c_0 + A c_3}{A + B}. \quad (6)$$

Исследование показало, что, в согласии с (6), средний состав расплава не зависит от скорости процесса и составляет 55 ат. % Bi.

Диаграмма состояния Pb — Bi имеет промежуточную  $\epsilon$ -фазу (2). Было проведено изучение контактного плавления (при  $\Delta T = 11^\circ\text{C}$ ) пары  $\epsilon$ -фаза — висмут. Это позволило выяснить, идет ли процесс при контактировании чистых металлов по равновесной диаграмме с образованием  $\epsilon$ -фазы или метастабильно без ее возникновения. Основанием для последнего предположения служит то обстоятельство, что при большой скорости растворения  $\epsilon$ -фаза не обнаруживается металлографическим анализом. Кроме того, при большой скорости процесса возможно подавление протекающего в твердой фазе превращения  $\alpha \rightarrow \epsilon$ .

Если имеет место равновесный случай, то согласно (5) и диаграммным данным (3)  $V\delta/D = l\Omega_\alpha/\Omega A + l\Omega_\beta/\Omega B$  должно иметь значение 0,26 ( $\Omega_\alpha/\Omega = 0,91$ ,  $\Omega_\beta/\Omega = 1,07$ ). Если  $\epsilon$ -фаза не образуется и метастабильным ликвидусом при  $\Delta T = 11^\circ\text{C}$  служит продолжение за перитектическую горизонталь высокотемпературной ветви ликвидуса, определяющую равновесие между  $\alpha$ -фазой (на основе Pb) и жидкостью, то  $V\delta/D = 0,96$  (концентрация метастабильного ликвидуса принята равной 40 ат. % Bi). В случае контакта висмута с образцом, приготовленным из  $\epsilon$ -фазы (с концентрацией 33 ат. % Bi), работает равновесная диаграмма и  $V\delta/D = 0,43$  ( $\Omega_\epsilon/\Omega = 0,97$ ). Как видно, в трех рассмотренных случаях скорости контактного плавления должны быть различными при разных  $\delta$ ; причем, при контактировании висмута с  $\epsilon$ -фазой скорость может быть в 1,7 раза больше или в 2 раза меньше, чем при контактировании висмута со свинцом, в зависимости от того, как идет процесс в последнем случае.

Опыты показали (рис. 3), что при всех нагрузках скорости в системе Bi —  $\epsilon$ -фаза почти вдвое больше, чем в системе Bi — Pb. Таким образом, при контактировании чистых металлов в исследованной области скоростей процесса имеет место образование прослойки промежуточной  $\epsilon$ -фазы. Толщина ее, по-видимому, весьма мала. Применение обычных методов гетерофазной диффузии к случаю стационарного роста дает следующее выражение для толщины  $\Delta$  образующегося слоя:

$$\Delta = \frac{D_\epsilon}{V} \ln \frac{c_1''}{c_1'}, \quad (7)$$

где  $c_1'$  и  $c_1''$  — концентрации Bi в  $\epsilon$ -фазе на границах с  $\alpha$ -фазой и жидкостью соответственно. Оценка по данным рис. 3 дает  $\Delta \sim 10^{-7} - 10^{-9}$  см при скоростях  $10^{-4} - 10^{-2}$  см/сек. Коэффициент диффузии висмута в  $\epsilon$ -фазе принят равным коэффициенту диффузии висмута в свинце (3):  $D_\epsilon = 3 \cdot 10^{-12}$  см<sup>2</sup>/сек при  $T = 136^\circ\text{C}$  ( $\Delta T = 11^\circ\text{C}$ ). Вероятно,  $\epsilon$ -фаза не составляет слоя как такового, а является поверхностным образованием, участвующим в реакции переноса атомов свинца из твердой фазы в жидкость.

Центральный научно-исследовательский  
институт черной металлургии

Поступило  
20 VII 1970

им. И. П. Бардина

Государственный педагогический институт  
им. В. И. Ленина  
Москва

#### ЦИТИРОВАННАЯ ЛИТЕРАТУРА

- <sup>1</sup> Н. Н. Нилова, Г. М. Бартенев и др., ДАН, 180, № 2, 394 (1968). <sup>2</sup> М. Хапсен, К. Айдерко, Структура двойных сплавов, М., 1962. <sup>3</sup> В. Зайт, Диффузия в металлах, ИЛ, 1958.